## ラマン分光法を用いた水吸着時の ナノポーラスカーボンの構造解析

Structural Analysis of Water-Adsorbed Nanoporous Carbon

by Raman Spectroscopy

長岡技科大(院)1, ヒューズ・テクノネット2

O(M2) 菅間由紀乃 <sup>1</sup>, (M1) 奥田瑠惟 <sup>1</sup>, (M1) 工藤悠人 <sup>1</sup>, 津田欣範 <sup>1,2</sup>, 小松啓志 <sup>1</sup>, 齋藤秀俊 <sup>1</sup>
Nagaoka Univ.Tech. <sup>1</sup>, Fuse TechnoNet <sup>2</sup>,

°Yukino Kanma <sup>1</sup>, Rui Okuda <sup>1</sup>, Yuto Kudo <sup>1</sup>, Yoshinori Tsuda <sup>1,2</sup>, Keiji Komatsu <sup>1</sup>, Hidetoshi Saitoh <sup>1</sup> E-mail: hts@nagaokaut.ac.jp

[緒言] 1 g/g 以上の水吸着量を示すナノポーラスカーボン(NPC)の水吸着時の構造は、従来のスリ ット型構造のみでは説明できない。そのため、水吸着前後の NPC の構造を評価する必要がある。 NPC の構造を評価する上で、多結晶グラファイトとアモルファス炭素のラマンスペクトルに着目 した。多結晶グラファイトのラマンスペクトルは結晶相の規則的な構造により鋭いピークが得ら れる 2)。一方、アモルファス炭素のラマンスペクトルはアモルファス相の不規則構造によりブロ ードなピークが得られる<sup>3)</sup>。水吸着前後の NPC を各相に分類できれば、NPC の構造を詳細に評価 できると考えた。本報告では、ラマン分光法を用いた水吸着前後の NPC の構造解析を報告する。 [実験方法]籾殻炭を出発原料とし、賦活剤は水酸化カリウムを用いた。温度保持時間2hで加熱処 理後、大気解放による自然冷却を賦活処理とし、NPCを合成した。水吸着実験はNPC約0.1gに 対し温度 20 ℃、湿度 100 %の条件下で水を吸着させ、重量測定により NPC の水吸着量を算出 した。そして水吸着前後の NPC はラマン分光法を用いて励起波長 514.527 nm で測定した。得ら れたラマンスペクトルはガウス関数を用いてフィッティングしラマン強度比で構造を評価した。 [結果と考察] NPC に水吸着実験を行った結果、水吸着量は 1.44 g/g であった。Figure 1 に NPC の 水吸着前後のラマンスペクトルを示す。水吸着前後のNPCは結晶相に由来するGバンド、Dバン ド及びアモルファス相に由来する G'バンド、D'バンドの 4 つにピーク分離することができた。 Table 1 に水吸着前後の NPC における結晶相の黒鉛化度  $I_D/I_G$ 、アモルファス相の黒鉛化度  $I_D/I_G$ で、 そして結晶相とアモルファス相の割合  $I_{G}/I_{G}$  を示す。水吸着前後でそれぞれのラマン強度比が変化 したことから、NPC は水吸着時に構造変化を伴うことが分かった。

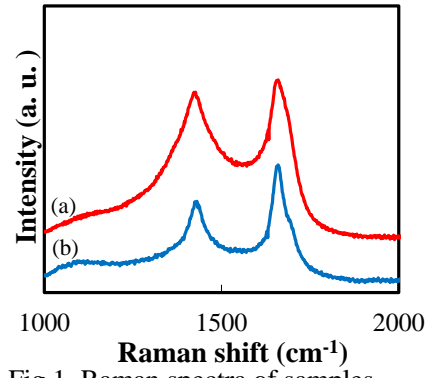


Fig.1. Raman spectra of samples (a) Dried NPC and (b) H<sub>2</sub>O-adsorbed NPC.

Table 1.  $I_D/I_G$ ,  $I_D/I_{G'}$  and  $I_G/I_G$  of NPCs.

	$I_D/I_G$	$I_D/I_{G'}$	$I_G$ , $I_G$
Dried NPC	0.48	1.66	0.60
H <sub>2</sub> O-adsorbed NPC	0.90	1.22	0.88

## 参考文献

- 1) 菅間 由紀乃 他、第 76 回応用物理学会秋季 学術講演会 15p-2K-6(2015).
- 2) F. Tuinstra et al., J. Chem. Phys., 53 (1969).
- 3)A.C. Ferrari *et al.*, *The royal society*, **362**(2004).